

Annexe A

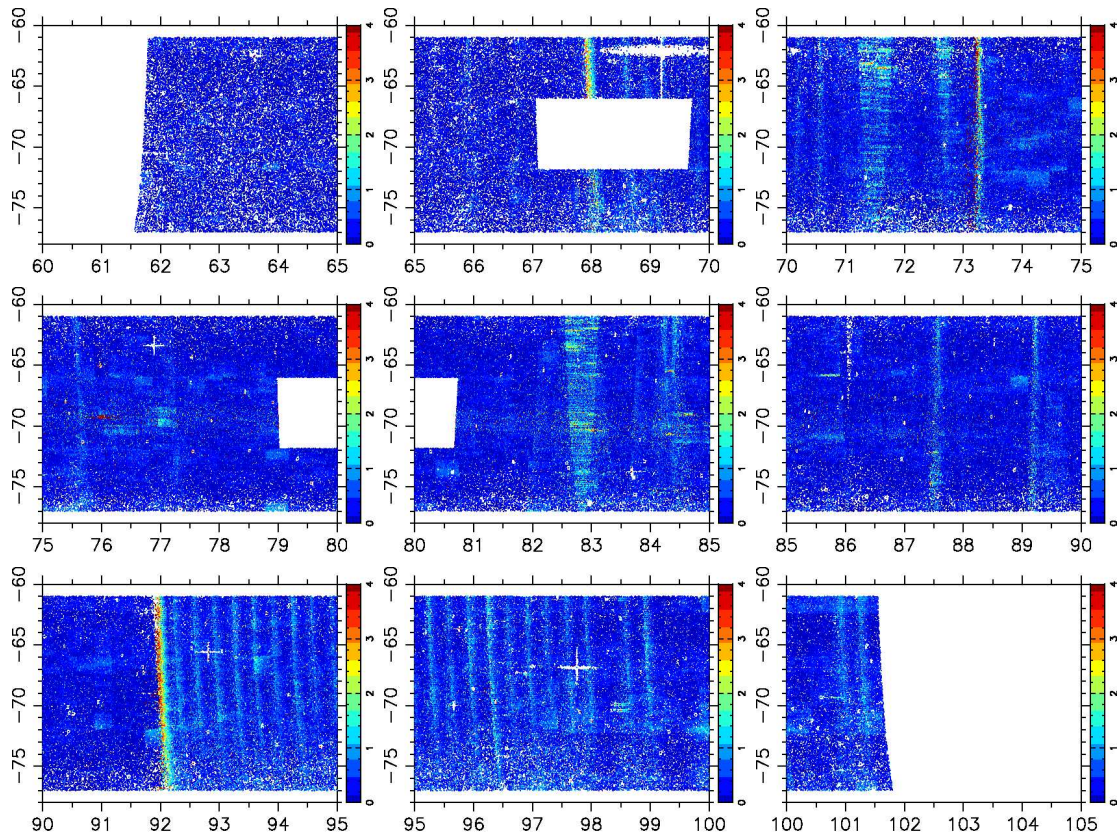


FIGURE 2 : Problèmes astrométriques du DCMC dans le GNM. Chaque point représente une identification croisée dans le plan (R.A., Dec.) en degrés. La couleur du point est fonction de la distance de l'identification en secondes d'arc. Plus la distance entre les deux sources de l'identification est grande, plus les couleurs sont rouges.

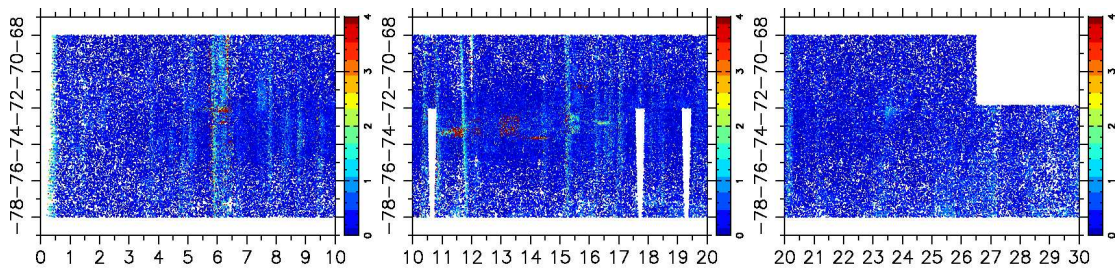


FIGURE 3 : Problèmes astrométriques du DCMC dans le PNM. Chaque point représente une identification croisée dans le plan (R.A., Dec.) en degrés. La couleur du point est fonction de la distance de l'identification en secondes d'arc. Plus la distance entre les deux sources de l'identification est grande, plus les couleurs sont rouges.

TABLEAU 1 : *GNM, 119 strips - Critères d'identification croisée DCMC/2MASS établis pour chaque strip DENIS et utilisés pour réaliser l'identification croisée des catalogues DCMC et 2MASS. Les numéros des images affectées au sein d'un strip par des sources redondantes sont indiqués dans la dernière colonne.*

slot	strip	$\delta\alpha''_{\min}$	$\delta\alpha''_{\max}$	$\delta\delta''_{\min}$	$\delta\delta''_{\max}$	$\langle \delta J \rangle$	$\langle \delta K_s \rangle$	No. images rejetées
4234	3129	-3.0	+3.0	-4.0	+3.0	-0.109	-0.227	0
4306	3131	-3.0	+3.0	-4.0	+3.0	-0.118	-0.248	0
4232	3339	-3.0	+3.0	-4.0	+3.0	-0.121	-0.227	0
4288	3340	-4.0	+3.0	-4.0	+4.0	-0.179	-0.305	0
4275	3353	-4.0	+3.0	-4.0	+3.0	-0.098	-0.348	1
4270	3372	-3.0	+3.0	-3.0	+3.0	-0.137	-0.290	0
4327	3373	-3.0	+3.0	-4.0	+3.0	-0.128	-0.259	0
4271	3418	-3.0	+3.0	-3.0	+3.0	-0.137	-0.303	0
4330	3419	-4.0	+3.0	-4.0	+3.0	-0.139	-0.251	0
4290	3457	-4.0	+3.0	-4.0	+4.0	-0.067	-0.311	2
4293	3485	-3.0	+3.0	-4.0	+3.0	-0.201	-0.315	0
4226	4786	-4.0	+3.0	-3.0	+3.0	-0.083	-0.279	0
4229	4790	-4.0	+3.0	-3.0	+3.0	-0.066	-0.287	0
4272	4813	-3.0	+3.0	-3.0	+3.0	-0.032	-0.307	0
4333	4928	-3.0	+3.0	-4.0	+3.0	-0.039	-0.255	0
4273	4938	-3.0	+3.0	-4.0	+3.0	-0.103	-0.302	0
4274	4939	-3.0	+4.0	-4.0	+3.0	-0.092	-0.017	0
4255	4944	-4.0	+3.0	-4.0	+4.0	-0.111	-0.323	0
4256	4945	-4.0	+3.0	-4.0	+3.0	-0.119	-0.328	0
4294	4960	-4.0	+4.0	-3.0	+3.0	-0.126	-0.334	0
4276	4963	-3.0	+4.0	-4.0	+3.0	-0.065	-0.315	0
4277	4964	-4.0	+4.0	-4.0	+3.0	-0.068	-0.316	0
4260	4969	-4.0	+4.0	-3.0	+3.0	-0.065	-0.303	2
4292	4971	-4.0	+4.0	-4.0	+3.0	-0.094	-0.316	0
4291	4974	-4.0	+3.0	-4.0	+3.0	-0.106	-0.341	0
4261	5059	-4.0	+3.0	-4.5	+3.0	-0.091	-0.312	0
4289	5060	-4.0	+3.0	-4.0	+4.0	-0.096	-0.321	1
4262	5066	-4.0	+4.0	-4.0	+4.0	-0.103	-0.307	0
4263	5067	-5.0	+5.0	-5.0	+5.0	-0.119	-0.317	0
4285	5068	-6.0	+6.0	-5.0	+5.0	-0.092	-0.322	4
4280	5083	-6.0	+7.0	-9.0	+8.0	-0.129	-0.357	0
4281	5084	-6.0	+7.0	-8.0	+8.0	-0.102	-0.366	0
4225	5088	-4.0	+3.0	-3.0	+4.0	-0.087	-0.300	0
4254	5089	-3.0	+3.0	-4.0	+4.0	-0.071	-0.336	0
4249	5209	-3.0	+3.0	-3.0	+3.0	+0.036	-0.281	0
4307	5210	-3.0	+3.0	-4.0	+3.0	+0.073	-0.264	0
4334	5227	-3.0	+3.0	-4.0	+4.0	-0.104	-0.258	0
4301	5237	-3.0	+4.0	-3.0	+3.0	-0.168	-0.303	0

Suite page suivante . . .

... Suite de la page précédente

slot	strip	$\delta\alpha''_{\min}$	$\delta\alpha''_{\max}$	$\delta\delta''_{\min}$	$\delta\delta''_{\max}$	$\langle \delta J \rangle$	$\langle \delta K_s \rangle$	No. images rejetées
4253	5321	-3.0	+3.0	-4.0	+3.0	-0.054	-0.294	0
4296	5322	-4.0	+3.0	-3.5	+3.5	-0.079	-0.303	0
4257	5327	-4.0	+3.0	-4.0	+3.0	-0.166	-0.331	0
4264	5344	-4.0	+3.0	-4.0	+3.0	-0.083	-0.296	0
4265	5352	-4.0	+4.0	-4.0	+3.5	-0.119	-0.321	0
4266	5360	-3.0	+3.0	-4.0	+3.0	-0.151	-0.335	0
4267	5363	-3.0	+3.0	-3.0	+3.0	-0.097	-0.315	0
4299	5364	-4.0	+3.0	-4.0	+3.0	-0.106	-0.303	0
4268	5368	-4.0	+4.0	-4.0	+4.0	-0.100	-0.305	0
4298	5369	-4.0	+3.0	-4.0	+3.5	-0.085	-0.297	0
4269	5375	-4.0	+4.0	-4.0	+4.0	-0.096	-0.299	0
4297	5376	-4.0	+3.0	-4.0	+3.0	-0.078	-0.289	0
4279	5381	-3.0	+4.0	-4.0	+4.0	-0.080	-0.418	0
4284	5382	-4.0	+4.0	-4.0	+3.0	-0.084	-0.326	0
4282	5386	-3.0	+3.0	-4.0	+3.0	-0.071	-0.336	0
4304	5393	-4.5	+4.0	-4.0	+4.0	-0.047	-0.222	0
4251	5399	-3.0	+3.0	-3.0	+3.0	-0.094	-0.433	0
4278	5400	-4.0	+4.0	-3.0	+3.0	-0.233	-0.412	0
4305	5406	-4.0	+4.0	-4.0	+3.5	-0.008	-0.197	0
4248	5412	-4.0	+3.0	-3.0	+3.0	+0.034	-0.242	0
4303	5413	-4.0	+3.0	-4.0	+3.0	-0.039	-0.269	0
4287	5433	-4.0	+3.0	-4.0	+3.0	-0.095	-0.317	0
4228	5876	-3.0	+3.0	-3.0	+3.0	-0.141	-0.274	0
4247	6861	-6.0	+5.0	-7.0	+6.0	-0.116	-0.337	0
4246	6872	-6.0	+6.0	-7.0	+6.0	-0.105	-0.327	0
4250	6882	-6.0	+5.0	-7.0	+6.0	-0.219	-0.399	0
4218	6888	-3.0	+3.0	-4.0	+3.0	-0.069	-0.264	0
4219	6894	-3.0	+3.0	-4.0	+4.0	-0.100	-0.296	0
4245	6895	-4.0	+3.0	-4.0	+4.0	-0.111	-0.312	0
4220	6901	-3.0	+4.0	-3.0	+3.0	-0.142	-0.285	0
4244	6902	-4.0	+5.0	-3.0	+3.0	-0.157	-0.329	0
4233	6909	-3.0	+3.0	-3.0	+3.0	-0.105	-0.275	0
4243	6919	-4.0	+4.0	-3.0	+3.0	-0.133	-0.308	0
4221	6925	-3.0	+4.0	-4.0	+3.0	-0.094	-0.280	0
4242	6932	-4.0	+4.5	-4.0	+4.0	-0.128	-0.305	1
4241	6948	-4.0	+4.0	-4.0	+3.0	-0.124	-0.283	0
4227	6954	-3.0	+3.0	-3.0	+3.0	-0.059	-0.260	0
4295	6955	-4.0	+6.0	-4.0	+3.0	-0.114	-0.314	0
4223	6959	-3.0	+3.0	-4.0	+3.0	-0.160	-0.295	0
4235	6961	-4.0	+3.0	-4.0	+4.0	-0.147	-0.315	0
4222	6967	-4.0	+4.5	-4.0	+3.0	-0.117	-0.280	0
4240	6968	-3.0	+4.5	-4.0	+4.0	-0.153	-0.297	0

Suite page suivante . . .

110

... Suite de la page précédente

slot	strip	$\delta\alpha''_{\min}$	$\delta\alpha''_{\max}$	$\delta\delta''_{\min}$	$\delta\delta''_{\max}$	$\langle \delta J \rangle$	$\langle \delta K_s \rangle$	No. images rejetées
4224	6972	-3.0	+3.0	-4.0	+3.0	-0.179	-0.291	0
4231	6973	-3.0	+3.0	-4.0	+3.0	-0.148	-0.295	0
4308	6978	-3.0	+11.0	-3.5	+3.0	-0.189	-0.285	0
4309	6985	-4.0	+6.0	-4.0	+4.0	-0.091	-0.275	0
4236	6989	-4.0	+11.0	-5.0	+4.0	-0.132	-0.290	0
4310	6990	-4.0	+6.0	-4.0	+4.0	-0.143	-0.302	0
4237	6996	-4.0	+4.5	-4.0	+4.0	-0.133	-0.309	0
4311	6997	-4.0	+6.0	-4.0	+3.0	-0.135	-0.307	0
4238	7002	-3.0	+6.0	-4.0	+3.0	-0.099	-0.289	0
4312	7004	-4.0	+6.0	-4.0	+3.0	-0.185	-0.304	0
4239	7008	-3.0	+5.0	-3.0	+3.0	-0.180	-0.309	0
4313	7009	-4.0	+6.0	-4.0	+4.0	-0.166	-0.348	0
4230	7014	-4.0	+4.5	-3.0	+3.0	-0.119	-0.294	0
4314	7015	-4.0	+6.0	-4.0	+3.0	-0.120	-0.300	0
4259	7019	-4.0	+6.0	-4.0	+3.0	-0.069	-0.299	0
4331	7020	-4.0	+3.0	-4.5	+3.5	-0.162	-0.267	0
4315	7025	-4.0	+6.0	-4.0	+3.0	-0.121	-0.285	0
4252	7031	-4.0	+14.0	-4.0	+4.0	-0.070	-0.313	0
4300	7057	-4.0	+9.0	-4.0	+4.0	-0.100	-0.300	0
4316	7074	-4.0	+6.0	-4.0	+3.0	-0.167	-0.281	0
4317	7080	-4.0	+6.0	-4.0	+3.0	-0.090	-0.275	0
4318	7084	-4.0	+6.0	-4.0	+3.0	-0.172	-0.307	0
4319	7085	-4.0	+6.0	-4.0	+3.0	-0.140	-0.299	0
4320	7090	-4.0	+6.0	-4.0	+3.0	-0.115	-0.283	0
4321	7095	-4.0	+6.0	-4.0	+3.0	-0.083	-0.260	0
4322	7096	-4.0	+6.0	-4.0	+3.0	-0.102	-0.270	0
4323	7101	-4.0	+6.0	-4.0	+3.0	-0.091	-0.249	0
4324	7106	-4.0	+6.0	-4.0	+3.0	-0.048	-0.267	0
4325	7107	-4.0	+5.0	-4.0	+3.0	-0.026	-0.226	0
4326	7112	-4.0	+5.0	-4.0	+3.0	-0.049	-0.240	0
4328	7113	-4.0	+6.0	-4.0	+3.0	+0.001	-0.223	0
4329	7125	-4.0	+6.0	-4.0	+3.0	-0.115	-0.270	0
4335	7130	-4.0	+6.0	-4.0	+3.0	-0.004	-0.225	0
4336	7140	-4.0	+5.0	-4.0	+3.0	-0.109	-0.270	0
4258	8549	-4.0	+4.0	-4.0	+3.0	-0.112	-0.324	0
4332	8679	-3.0	+3.0	-4.5	+3.0	-0.124	-0.257	0
4283	8685	-4.0	+5.0	-4.0	+3.0	-0.104	-0.328	0
4286	8691	-5.0	+5.0	-5.0	+4.0	-0.100	-0.322	1
4302	8695	-4.0	+3.0	-4.0	+3.0	-0.117	-0.334	0

TABLEAU 2 : *PNM, 88 strips - Critères d'identification croisée DCMC/2MASS établis pour chaque strip DENIS et utilisés pour réaliser l'identification croisée des catalogues DCMC et 2MASS. Les numéros des images affectées au sein d'un strip par des sources redondantes sont indiqués dans la dernière colonne.*

slot	strip	$\delta\alpha''_{\min}$	$\delta\alpha''_{\max}$	$\delta\delta''_{\min}$	$\delta\delta''_{\max}$	$\langle \delta J \rangle$	$\langle \delta K_s \rangle$	No. images rejetées
4105	3109	-3.0	+3.0	-3.0	+3.0	-0.129	-0.282	0
4115	3127	-4.0	+3.0	-3.0	+3.0	-0.142	-0.276	0
4099	4507	-3.0	+3.0	-3.0	+3.0	-0.084	-0.225	0
4090	4514	-3.0	+3.0	-3.0	+3.0	-0.088	-0.305	0
4106	4522	-3.0	+3.0	-3.0	+3.0	-0.109	-0.283	0
4085	4544	-3.0	+4.0	-4.0	+3.0	-0.087	-0.288	0
4089	4717	-3.0	+3.0	-3.0	+3.0	-0.114	-0.311	0
4054	4772	-4.0	+3.0	-4.0	+4.0	-0.147	-0.341	0
4049	4783	-3.0	+3.0	-3.0	+3.0	-0.094	-0.281	4
4098	4810	-3.0	+3.0	-3.0	+3.0	-0.038	-0.311	0
4104	4926	-3.0	+3.0	-4.0	+3.0	-0.077	-0.279	0
4094	4930	-3.0	+3.0	-3.0	+3.0	-0.110	-0.302	0
4062	4941	-3.0	+4.0	-3.0	+3.0	-0.116	-0.325	0
4080	4942	-3.0	+3.0	-3.0	+3.0	-0.090	-0.376	0
4063	4948	-3.0	+3.0	-3.0	+3.0	-0.073	-0.320	0
4066	4966	-3.0	+3.0	-3.0	+3.0	-0.068	-0.349	2
4070	5024	-3.0	+4.0	-3.0	+4.0	-0.021	-0.258	0
4071	5029	-3.0	+4.0	-3.0	+4.0	-0.065	-0.377	0
4072	5035	-3.0	+3.0	-3.0	+3.0	-0.053	-0.366	3
4073	5040	-3.0	+4.0	-3.0	+4.0	-0.065	-0.359	0
4074	5046	-3.0	+4.0	-4.0	+3.0	-0.038	-0.350	1
4075	5052	-3.0	+3.0	-4.0	+4.0	-0.064	-0.341	1
4077	5058	-3.0	+4.0	-3.0	+4.0	-0.037	-0.373	0
4079	5065	-5.0	+3.0	-5.0	+3.0	-0.080	-0.329	1
4047	5759	-6.0	+3.0	-3.0	+3.0	-0.036	-0.353	1
4087	5814	-5.0	+5.0	-5.0	+5.0	-0.076	-0.375	0
4051	5830	0.0	0.0	0.0	0.0	-0.112	-0.328	6
4092	5831	-6.0	+5.0	-5.0	+6.0	-0.117	-0.282	0
4055	5864	-5.0	+5.0	-5.0	+5.0	-0.098	-0.296	0
4113	5874	-5.0	+5.0	-5.0	+5.0	-0.160	-0.303	0
4045	6536	-3.0	+3.0	-3.0	+3.0	-0.112	-0.341	0
4086	6542	-3.5	+6.0	-4.0	+4.0	-0.093	-0.329	0
4068	6548	-3.0	+5.5	-3.0	+3.0	-0.085	-0.334	4
4061	6553	-3.0	+8.0	-3.0	+3.0	-0.067	-0.320	0
4064	6560	-3.0	+8.0	-3.0	+3.0	-0.075	-0.288	0
4067	6574	-4.0	+5.5	-5.0	+4.0	-0.075	-0.330	0
4076	6575	-3.0	+5.0	-3.0	+4.0	-0.065	-0.310	0
4083	6589	-3.0	+6.0	-3.0	+4.0	-0.059	-0.338	0

Suite page suivante . . .

... Suite de la page précédente

slot	strip	$\delta\alpha''_{\min}$	$\delta\alpha''_{\max}$	$\delta\delta''_{\min}$	$\delta\delta''_{\max}$	$\langle \delta J \rangle$	$\langle \delta K_s \rangle$	No. images rejetées
4059	6597	-3.0	+6.5	-3.0	+3.0	-0.077	-0.311	0
4084	6598	-3.0	+7.0	-3.0	+4.0	-0.044	-0.291	0
4058	6605	-4.0	+5.0	-3.0	+3.0	-0.041	-0.258	0
4065	6620	-4.0	+8.0	-3.0	+3.0	-0.093	-0.307	0
4044	6644	-3.0	+5.0	-3.0	+3.0	-0.107	-0.283	0
4095	6645	-3.0	+3.0	-4.0	+4.0	-0.093	-0.277	0
4048	6650	-3.0	+5.0	-3.0	+3.0	-0.085	-0.276	4 086 087 088 089
4093	6651	-3.0	+6.0	-4.0	+4.0	-0.100	-0.304	0
4050	6657	-5.0	+11.0	-4.0	+4.0	-0.068	-0.298	5 086 087 088 089 092
4053	6658	-3.0	+4.0	-3.0	+3.0	-0.075	-0.317	0
4082	6899	-3.0	+5.0	-3.0	+3.0	-0.093	-0.343	0
4043	6906	-4.0	+3.0	-3.0	+3.0	-0.106	-0.306	0
4100	6907	-3.0	+4.0	-3.0	+3.0	-0.129	-0.297	0
4042	6911	-3.0	+3.0	-3.0	+3.0	-0.118	-0.309	0
4056	6916	-3.0	+5.0	-3.0	+3.0	-0.121	-0.297	0
4121	6917	-4.0	+3.0	-4.0	+4.5	-0.149	-0.311	0
4101	6923	-4.0	+3.0	-4.0	+3.0	-0.127	-0.343	0
4102	6929	-4.0	+3.0	-4.0	+3.0	-0.111	-0.292	0
4057	6935	-3.0	+5.0	-3.0	+3.0	-0.111	-0.330	0
4034	6938	-3.0	+6.5	-3.0	+3.0	-0.074	-0.241	0
4078	6939	-4.0	+11.0	-4.0	+4.0	-0.095	-0.309	0
4035	6942	-3.0	+3.0	-4.0	+4.0	-0.005	-0.208	5 106 107 108 109 112
4036	6944	-3.0	+5.0	-3.0	+3.0	-0.052	-0.263	0
4041	6945	-3.0	+3.0	-3.0	+3.0	-0.085	-0.275	0
4037	6950	-3.0	+5.0	-3.0	+3.0	-0.098	-0.292	0
4081	6951	-3.0	+7.0	-4.0	+3.0	-0.057	-0.333	1 092
4103	6958	-4.0	+3.0	-4.0	+4.0	-0.121	-0.326	0
4038	6964	-4.0	+4.0	-3.0	+3.0	-0.085	-0.275	0
4120	6966	-4.5	+3.0	-4.0	+4.0	-0.077	-0.269	0
4040	6970	-3.0	+3.0	-3.0	+3.0	-0.054	-0.249	0
4088	6971	-3.0	+3.0	-3.0	+4.0	-0.141	-0.319	0
4096	6975	-3.0	+5.0	-4.0	+3.0	-0.154	-0.287	1 111
4039	6981	-3.0	+3.0	-3.0	+3.0	-0.136	-0.278	0
4097	6982	-3.0	+3.0	-3.0	+3.0	-0.085	-0.259	0
4046	6986	-4.0	+5.0	-3.0	+3.0	-0.107	-0.231	0
4107	6987	-4.0	+3.0	-4.0	+3.0	-0.110	-0.295	0
4108	7000	-5.0	+3.0	-4.0	+3.0	-0.110	-0.266	0
4109	7006	-4.0	+3.0	-4.0	+4.0	-0.130	-0.303	0
4110	7022	-5.0	+3.0	-4.0	+4.0	-0.097	-0.298	0
4111	7051	-4.0	+4.0	-4.0	+3.0	-0.150	-0.299	0
4112	7055	-5.0	+4.0	-4.0	+4.0	-0.074	-0.264	0
4116	7060	-4.5	+3.0	-4.0	+4.0	-0.095	-0.292	0

Suite page suivante . . .

... Suite de la page précédente

slot	strip	$\delta\alpha''_{\min}$	$\delta\alpha''_{\max}$	$\delta\delta''_{\min}$	$\delta\delta''_{\max}$	$\langle \delta J \rangle$	$\langle \delta K_s \rangle$	No. images rejetées
4117	7067	-4.5	+3.0	-4.0	+4.0	-0.122	-0.298	0
4118	7071	-4.5	+3.0	-4.0	+4.0	-0.098	-0.247	0
4060	8255	-3.0	+4.0	-3.0	+3.0	-0.064	-0.322	0
4052	8387	-4.5	+4.0	-3.0	+3.0	-0.078	-0.299	3
4091	8388	-3.0	+3.0	-4.0	+4.0	-0.093	-0.329	0
4069	8396	-3.0	+4.0	-4.0	+4.0	-0.100	-0.385	0
4114	8438	-4.0	+3.0	-4.0	+4.0	-0.027	-0.228	0
4119	8536	-4.5	+3.0	-4.0	+4.0	+0.172	-0.124	0

086 087 088

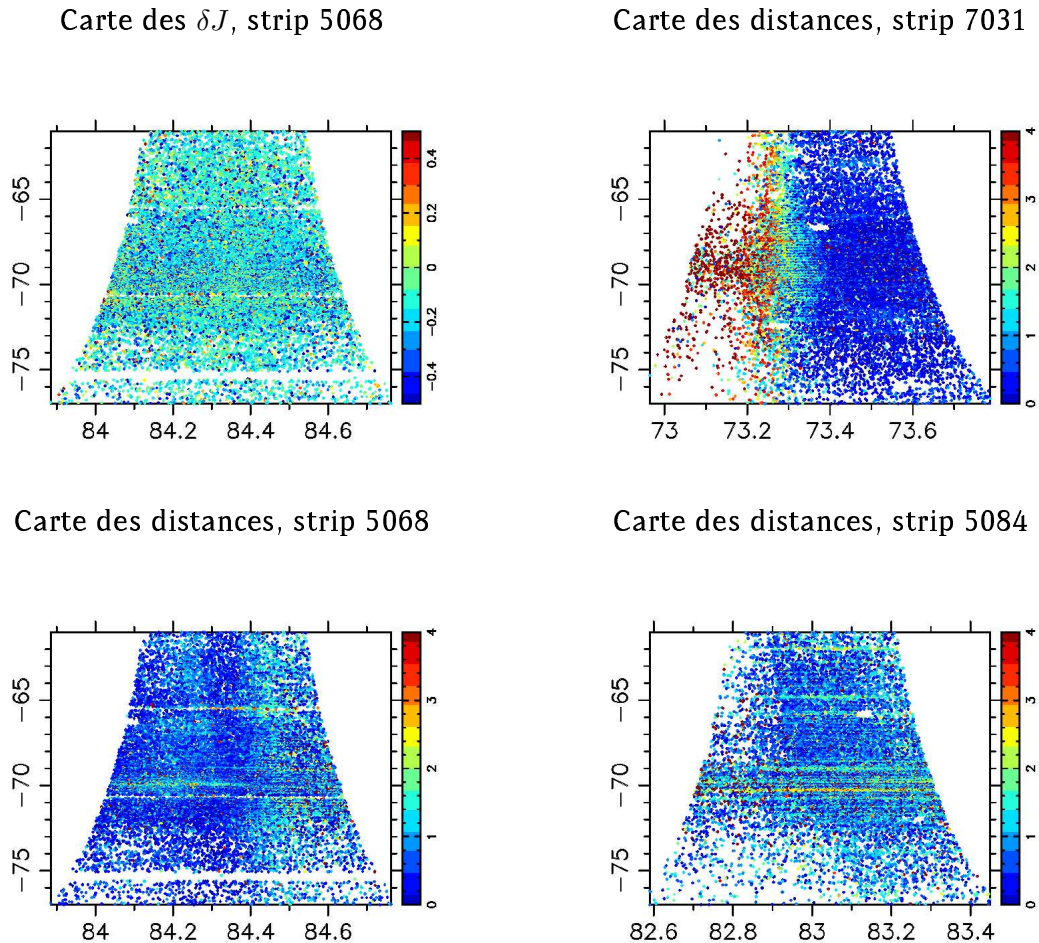


FIGURE 4 : Quelques exemples de visualisation des identifications croisées pour le plan (R.A., Dec.) en degrés. Chaque point correspond à une identification croisée. La couleur du point est fonction de la valeur du paramètre cartographié. L'unité de l'échelle des couleurs est la magnitude pour le paramètre δJ et la seconde d'arc pour le paramètre distance. De telles figures sont accessibles sur le site web du MC2, par numéro de strip/slot DENIS.

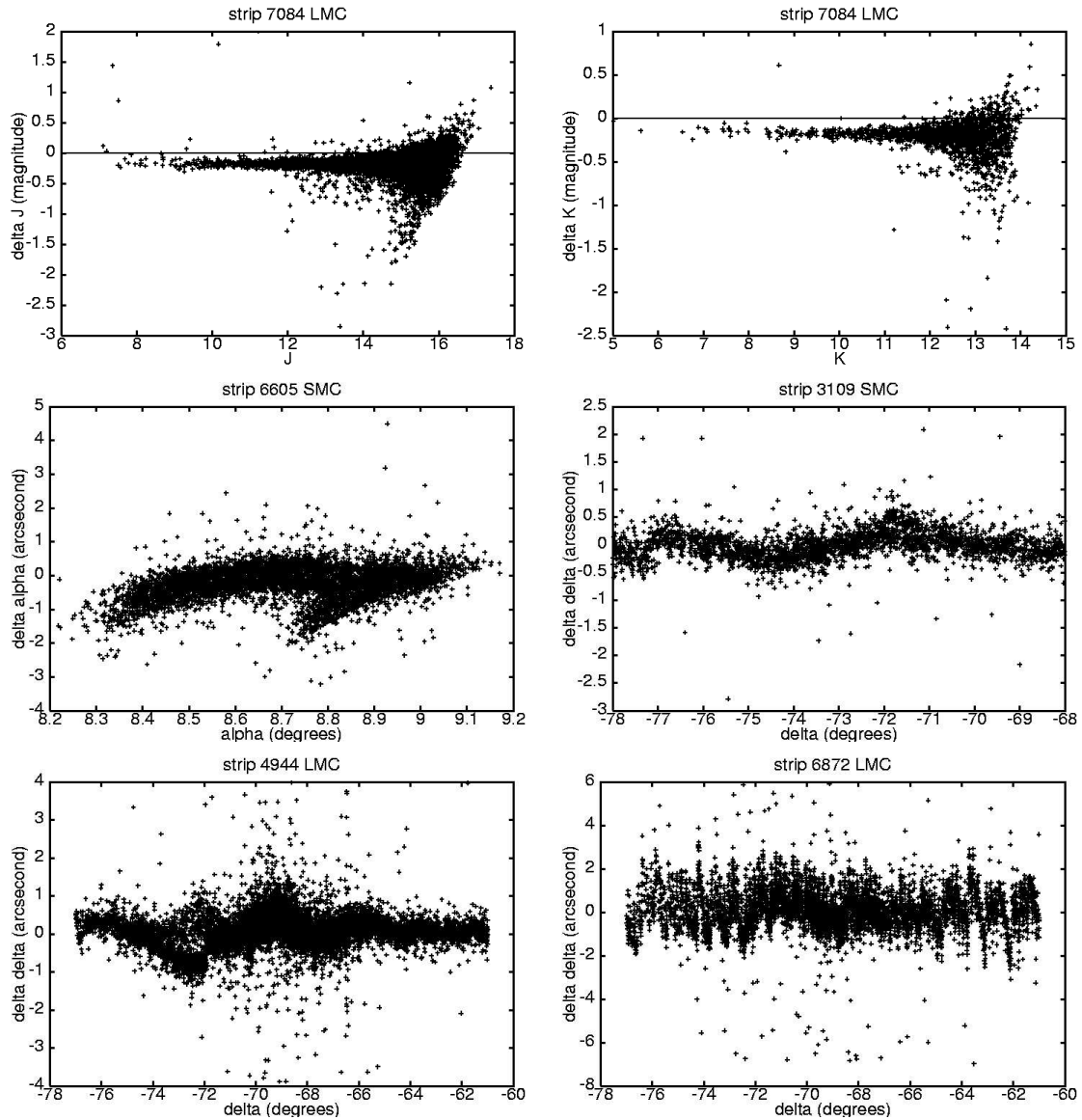


FIGURE 5 : Quelques exemples de décalages astrométriques et photométriques entre le DCMC et 2MASS. De telles figures sont accessibles sur le site web du MC2, par numéro de strip/slot DENIS.

Annexe B

TABLEAU 3 : *Echantillon de 145 étoiles (120 naines et 25 géantes) utilisées pour établir la calibration absolue M_J -type spectral et triées par identificateur Hipparcos croissant (première colonne). La deuxième colonne donne l'identificateur de la source 2MASS associée à la source Hipparcos. La troisième colonne indique le nom de l'association OB d'après le code utilisé par DZ99. Les colonnes suivantes indiquent la magnitude J 2MASS, la probabilité d'appartenance à l'association d'après DZ99, le type spectral, la magnitude absolue et dérougie M_J , le facteur de correction de l'extinction A_J et pour finir la vitesse de rotation stellaire en km.s^{-1} trouvée dans la base SIMBAD. L'origine des types spectraux est donnée dans la dernière colonne suivant le code numérique explicité dans les notes de ce tableau.*

HIP	2MASS	OB	J	Proba	S	M_J	A_J	$v \sin i$	réf.
2474	00312524+6631105	I	6.369	98	B6V	-0.38	0.04	95	10
5062	01044680+5100352	I	6.659	100	B3V	-1.00	0.08	100	10
10924	02204151+4718388	I	6.237	99	B5V	-0.81	0.01	40	10
13327	02512957+1504554	I	5.691	86	B7V	-0.15	0.00	145	10
14566	03080384+5212486	H	6.300	92	B5V	0.03	0.03	25	10
14980	03130524+4900339	H	7.687	100	B9.5V	1.39	0.06	10	12
15040	03135032+4934079	H	7.010	100	B9V	0.77	0.00	280	14
15819	03234733+4836161	H	6.918	93	B9V	0.56	0.12	200	12
16011	03261085+4823026	H	7.358	99	B9.5V	1.12	0.00	240	12
16079	03270515+4812198	H	6.752	98	B8.5Vn	0.51	0.00	345	12
16118	03273895+4935597	H	6.892	98	B9V	0.65	0.00		12
16137	03275576+4744093	H	7.078	99	B8.5V	0.83	0.01	200	12
16210	03285232+4950541	H	5.596	98	B6Vn	-0.67	0.02	205	12
16252	03292627+4656162	H	5.875	85	B7V	-0.43	0.06	120	12
16340	03303693+4806129	H	5.823	99	B8V	-0.42	0.00	295	12
16450	03315394+4844065	H	6.575	71	B8V	0.27	0.06	225	12
16470	03320859+4801245	H	5.567	84	B8III	-0.67	0.00	35	12
18081	03515370+3421328	G	5.734	87	B0.5V	-1.94	0.16	95	10
19039	04044305+3234163	G	6.788	98	B3V	-0.93	0.21	120	3
20884	04283212+0122509	I	5.730	94	B5V	0.32	0.05	0	11

Suite page suivante...

... Suite de la page précédente

HIP	2MASS	OB	J	Proba	S	M_J	A_J	$v \sin i$	réf.
31278	06333791-0113124	I	5.384	98	B5Vn	-0.74	0.04	285	10
31959	06404609-2851091	F	8.311	98	B3V	-0.62	0.07		MSS
32101	06422325-2221383	F	9.094	100	B9.5III	0.22	0.01		MSS
32823	06503266-2457326	F	9.594	74	B5V	0.69	0.04		MSS
33276	06551821-2332164	F	9.750	49	B6V	0.89	0.00		MSS
33294	06553289-2202148	F	7.156	76	B3III	-1.71	0.00		4
33316	06554693-2256293	F	5.632	96	B2III	-3.46	0.23	180	9
33343	06560434-2130213	F	9.458	79	B5V	0.59	0.00		MSS
33523	06580211-2252340	F	9.221	90	B2V	0.33	0.02		MSS
33686	06595476-3005143	F	8.841	99	B5III	-0.02	0.00		MSS
33804	07010594-2512561	F	5.958	96	B2V	-2.96	0.05	17	9
33814	07011224-2741147	F	8.473	85	B3V	-0.44	0.05		MSS
33975	07025961-1820091	F	8.326	70	B4Vnn	-0.54	0.00		MSS
34041	07034291-2505020	F	7.226	91	B3V	-1.68	0.04	108	4
34067	07035803-2730203	F	8.599	94	B3III	-0.32	0.05		MSS
34153	07045418-2636387	F	9.129	93	B8V	0.27	0.00		MSS
35051	07145510-2857518	F	7.701	61	B3III	-1.20	0.04		4
35110	07153486-2007434	F	8.116	65	B8V	-0.85	0.10		MSS
35267	07171026-2421074	F	8.120	97	B5V	-0.74	0.00		MSS
35329	07174940-2311276	F	9.015	62	B6III	0.15	0.00		MSS
35342	07180265-3056159	F	8.105	99	B7III	-0.76	0.00		MSS
35413	07184141-2007515	F	8.801	100	B3V	-0.19	0.13		MSS
35453	07190990-2533572	F	7.849	81	B0V	-1.13	0.12	18	17
35996	07250707-2655580	F	9.792	99	B5III	0.88	0.05		MSS
36009	07251638-2811127	F	8.138	56	B5V	-0.72	0.00		MSS
36219	07273136-4417045	D	8.274	99	B9V	0.04	0.17		MSS
36222	07273397-2701247	F	8.743	85	B5III	-0.27	0.15		MSS
36299	07281876-4848462	D	7.831	99	B3III	-0.45	0.22		MSS
36605	07314058-2654051	F	8.994	94	B9III	0.13	0.00		MSS
36646	07321187-2844036	F	8.996	76	B0.5III	-0.18	0.32		8
36707	07330213-2356033	F	8.139	93	B2III	-0.81	0.09		MSS
36972	07355974-2530427	F	9.044	88	B3V	0.16	0.02		MSS
37637	07432308-4702478	D	7.955	99	B5V	-0.11	0.00		MSS
37926	07461905-4609346	D	7.668	76	B6V	-0.41	0.01	175	17
38133	07485151-4318407	D	7.387	69	B3III	-0.75	0.07		6
38438	07522973-5422017	D	5.981	91	B2III	-2.21	0.13		6
38795	07562413-4044101	D	7.125	86	B2V	-0.94	0.00		9
38936	07580089-4901120	D	8.807	100	B8V	0.67	0.08		MSS
39054	07592302-4907115	D	8.471	95	B9V	0.31	0.10		MSS
39107	08000297-4501326	D	7.421	100	B5V	-0.68	0.03		MSS
39246	08013511-5036202	D	7.025	57	B2IIIp	-1.36	0.32	45	17
39349	08023674-4649214	D	8.180	44	B9V	0.12	0.00		MSS

Suite page suivante . . .

... Suite de la page précédente

HIP	2MASS	OB	J	Proba	S	M_J	A_J	$v \sin i$	réf.
39576	08051299-4702439	D	8.618	92	B8V	0.46	0.10		MSS
39623	08054847-4559454	D	8.445	96	B8V	0.38	0.00		MSS
39691	08064161-4829507	D	6.728	91	B3III	-1.38	0.04		6
39694	08064337-4348316	D	8.458	90	B9V	0.39	0.00		MSS
39861	08083457-4421018	D	8.626	39	B9V	0.56	0.00		MSS
40594	08171665-4653356	D	7.566	98	B9V	-0.51	0.02		MSS
40600	08171957-4755122	D	7.097	99	B5Vn	-1.09	0.12		6
40662	08180114-4705307	D	7.278	99	B7III	-0.79	0.00	340	17
41052	08223635-4411095	D	8.076	92	B9V	0.01	0.00		MSS
41186	08241711-5331226	D	8.966	100	B9.5V	0.72	0.18		MSS
41332	08255894-4401199	D	8.440	92	B8III	0.34	0.03		MSS
41498	08274756-4740271	D	8.451	92	B8V	0.39	0.00		MSS
41668	08294363-4801345	D	7.694	48	B8V	-0.44	0.07		MSS
42069	08342898-5105354	D	6.875	83	B5Vn	-1.21	0.02		6
42295	08372342-4130346	E	9.048	88	B9V	1.21	0.02		MSS
42653	08413489-4459308	E	6.824	100	B3V	-1.09	0.10		MSS
43059	08461976-4023477	E	8.130	22	B5V	0.31	0.01		MSS
43182	08474794-4216222	E	7.307	94	B4V	-0.54	0.03		MSS
43240	08483082-4224024	E	7.600	100	B6V	-0.22	0.00		MSS
43285	08490336-4345404	E	7.476	96	B3V	-0.36	0.02		6
43987	08572830-4415554	E	7.652	90	B5Vn	-0.17	0.00		6
44034	08580022-4452101	E	9.252	95	B9V	1.29	0.14		MSS
44996	09095282-4728343	E	7.028	62	B4V	-0.79	0.00		MSS
58720	12023768-6911322	C	6.010	94	B9V	1.13	0.00	214	MSS
60183	12202824-6550336	C	6.253	96	B9V	1.24	0.03		MSS
60379	12224942-5740339	C	5.591	96	B9V	0.47	0.01		9
61257	12331219-5204582	C	6.556	97	B9V	0.70	0.00		MSS
62026	12424975-5556492	C	6.027	86	B9V	0.67	0.08		13
62058	12430918-5610344	C	6.118	100	B9Vn	0.60	0.00		13
64053	13073829-5327350	C	5.815	94	B8V	0.56	0.26		5
64892	13180509-4403193	C	6.809	99	B9V	1.59	0.00		MSS
65178	13212590-4338034	C	6.688	98	B9V	1.08	0.06		MSS
65965	13313096-4644068	C	7.504	92	B9V	1.73	0.03		MSS
66454	13372347-4625405	C	6.085	95	B8V	0.70	0.00		MSS
67973	13551214-5209390	B	5.805	98	B8V	0.70	0.00		13
69845	14173922-4051423	B	7.802	99	B9V	0.84	0.09		MSS
70455	14244390-4045185	B	7.031	100	B8V	1.05	0.02		MSS
70690	14273072-4705566	B	7.659	94	B9V	0.64	0.00		MSS
73266	14582426-3721449	B	7.245	92	B9V	1.42	0.00		MSS
73341	14591393-3752524	B	6.598	98	B8V	0.18	0.00		MSS
74100	15083919-4252045	B	6.008	97	B7V	0.34	0.00	350	9
74752	15163715-4222125	B	6.782	100	B9V	1.10	0.00		MSS

Suite page suivante ...

... Suite de la page précédente

HIP	2MASS	OB	J	Proba	S	M_J	A_J	$v \sin i$	réf.
75647	15271814-3646032	B	5.760	95	B4Vp	0.17	0.05	130	9
76071	15321033-2158004	A	7.107	83	B9V	0.67	0.23		MSS
76633	15390006-1943569	A	7.476	75	B9.5V	1.03	0.02	250	7
77317	15470616-3531047	B	7.345	96	B9.5V	1.98	0.00		MSS
77523	15494310-3248298	B	7.387	94	B9V	0.85	0.03		MSS
77900	15543010-2720190	A	6.234	100	B6V	0.16	0.02	15	9
77911	15544159-2245585	A	6.685	80	B8V	0.60	0.15	300	7
77968	15552289-4431337	B	6.939	67	B8V	0.57	0.03		MSS
78168	15574046-2058591	A	5.764	97	B3V	-0.22	0.26	5	9
78324	15593087-4051545	B	7.658	89	B9V	1.21	0.33		MSS
78530	16015546-2158496	A	6.928	99	B9V	1.24	0.08	180	7
78968	16071493-1756097	A	7.435	75	B9V	1.33	0.09		MSS
79044	16080438-3613546	B	6.829	92	B9V	1.26	0.00		MSS
79410	16122183-1934445	A	7.174	96	B9Vn	1.41	0.19		7
79439	16124410-1930102	A	7.051	67	B9.5Vn	1.39	0.17	160	7
79599	16142888-2106274	A	6.342	91	B9V	1.20	0.02	306	MSS
79631	16145778-3937402	B	6.996	100	B9.5V	0.86	0.54		MSS
79739	16162518-2459194	A	7.240	99	B9V	0.60	0.37	160	4
79771	16165062-2551466	A	7.325	100	B9V	1.07	0.44		MSS
79785	16165876-2118147	A	6.514	88	B9V	0.93	0.10	245	7
79897	16182825-2316274	A	7.078	100	B9V	0.74	0.18		7
80142	16212702-4811190	B	6.583	100	B7V	0.90	0.03		MSS
80493	16255065-2634062	A	7.298	76	B9.5V	0.95	0.40		7
81316	16362866-4018109	B	6.744	99	B9V	0.34	0.07		MSS
81972	16444259-4050227	B	5.812	98	B3V	-0.24	0.16		9
82154	16470168-3932019	B	6.998	98	B8V	0.03	0.03		15
82430	16504552-3815231	B	7.218	90	B9V	1.66	0.00		MSS
102771	20491739+6402320	K	6.302	92	B0.5V	-2.76	0.12	225	8
106843	21382628+5658253	K	7.187	46	B0V	-2.02	0.27		8
106896	21390105+6133221	K	8.361	90	B2V	-0.84	0.25		16
107276	21434513+6246176	K	8.188	99	B2V	-0.99	0.24		16
107777	21500247+5241503	K	5.809	68	B0.5III	-3.63	0.50		8
107984	21523512+6242439	K	6.233	81	B1III-III	-2.99	0.28		16
110125	22182778+6313224	K	7.068	75	B0.5V	-2.15	0.28		8
110441	22221463+5448013	K	8.345	90	B0III	-1.08	0.48		8
110497	22230018+5717045	L	6.334	98	B8IIIp	-0.82	0.00	40	11
111589	22362230+3750321	J	7.118	99	B2V	-0.72	0.01	125	2
111683	22372872+3926197	J	7.735	99	B3V	-0.11	0.02	185	2
112167	22430335+3846070	J	8.732	82	B8V	0.90	0.00		1
113110	22542120+4331426	J	7.758	94	B8V	-0.07	0.00	125	2
114097	23063217+5104379	J	7.634	99	B2V	-0.23	0.04	95	2

Notes relatives au Tab. 3 :

Origine des types spectraux :

1	Adelman (1973)	10	Lesh (1968)
2	Blaauw & Morgan (1953)	11	Molnar (1972)
3	Borgman (1960)	12	Morgan et al. (1971)
4	Buscombe (1969)	13	Morris (1961)
5	Evans (1966)	14	Petrie & Heard (1969)
6	Feast et al. (1955)	15	Schild et al. (1971)
7	Garrison (1967)	16	Simonson III (1968)
8	Hiltner (1956)	17	Thackeray et al. (1973)
9	Hiltner et al. (1969)	MSS	Michigan Spectral Survey

Étoiles rejetées pour cause de types spectraux divergents au sein de plusieurs classifications indépendantes :

HIP 15988	HIP 39970	HIP 76503
HIP 34331	HIP 41828	HIP 77909
HIP 34954	HIP 43520	HIP 78246
HIP 38020	HIP 65112	HIP 78877
HIP 39584	HIP 72800	HIP 79031

Annexe C

Les images en couleurs de N44 et DEM299 présentes dans cette Annexe ont été construites à partir des images monochromatiques correspondantes dans les trois raies d'émissions suivantes :

- en bleu, la raie [OII] (filtre U/38) ;
- en vert, la raie [OIII] (filtre OIII/8) ;
- en rouge, la raie H α (filtre 485/31).

Les images composites ainsi formées sont une approximation des couleurs réelles des nébuleuses.

N44 a fait l'objet de l'**ESO Press Photos 31a-e/03** du 3 novembre 2003, intitulé *Roses in the Southern Sky* - *The Wide-Field-Imager at La Silla Unveils Intricate Structures Illuminated by Hot Stars*. La totalité du communiqué de presse est accessible sur le site web de l'ESO, à l'adresse suivante :

<http://www.eso.org/outreach/press-rel/pr-2003/phot-31-03.html>

où l'on peut visualiser et télécharger différentes versions (moyenne et haute résolution) de l'image N44, ainsi que de certaines régions d'intérêt à l'intérieur de la nébuleuse.

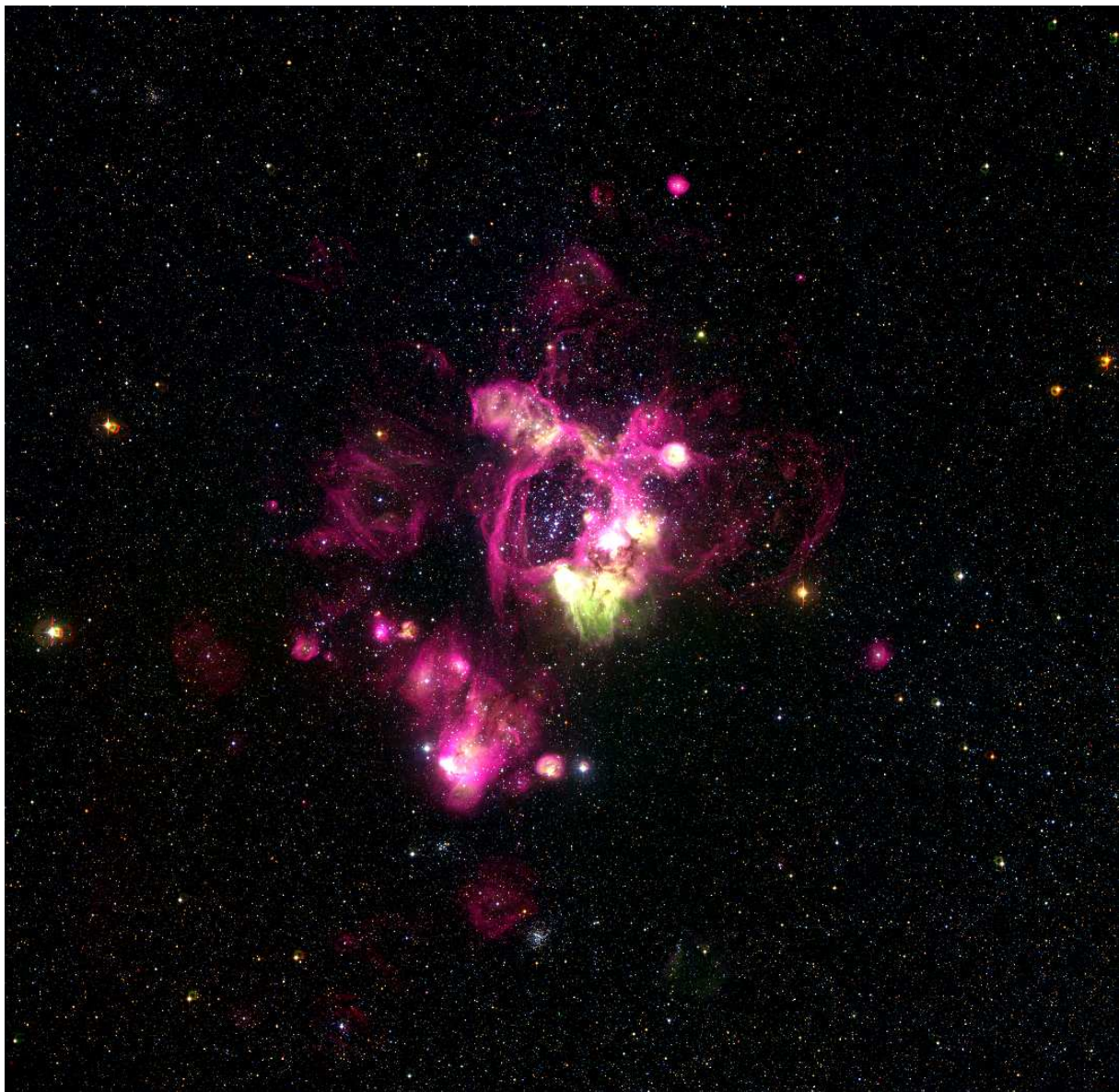


Figure 6 : Image WFI multi-bande de N44 réalisée par F. Comerón.
Le Nord est en haut et l'Est à gauche.

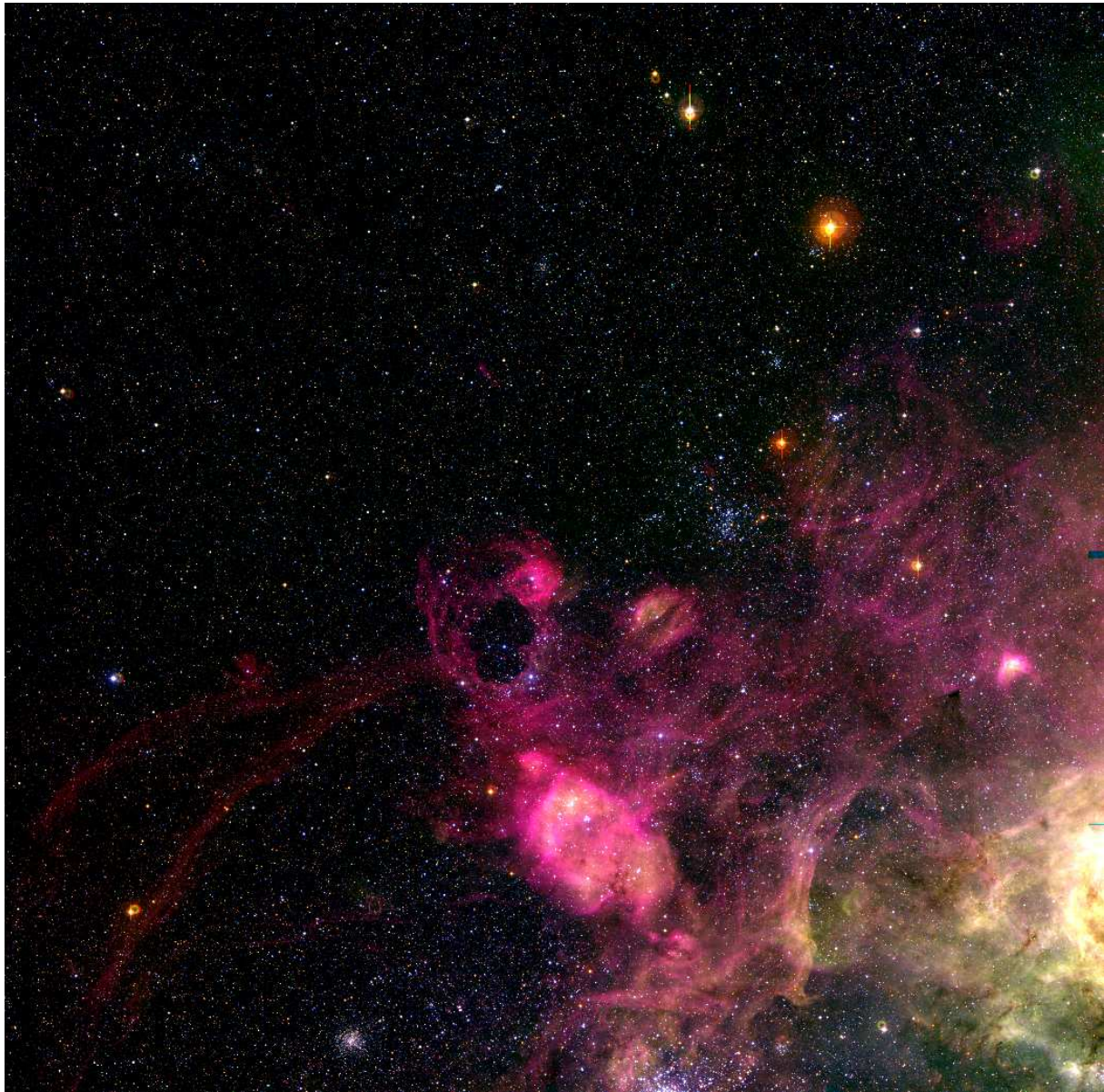


Figure 7 : Image WFI multi-bande de DEM299 réalisée par F. Comerón.
Le Nord est en haut et l'Est à gauche.

